

# NATM予備設計のための支保抵抗力の算定

国鉄 鉄道技術研究所 正員 桜井 孝

## 1. まえがき

国内におけるトンネル工事の支保の設計は、通常、地質調査や坑内観察により岩盤を評価し、これにどの支保パターン（岩盤分類）が適するかを決定することにある。これに対してNATMでは、トンネル支保の設計についても、ひとつの基本的な考え方があるようである。Robcewice and Golser<sup>1)</sup>は、支保の設計は、支保抵抗力が支保に作用する外力を上まわることを前提とし、算定する支保抵抗力は事前に求めておき、岩盤の性状や施工に深いかわりを持つ外力については、これが支保抵抗力を越えることがないか、また過大設計ではないかのチェックを計画により判断するという考え方を示している。これによると、総支保抵抗力は、吹きつりコンクリートのせん断抵抗、ロックボルトおよび岩盤の、せん断すべり面におけるせん断抵抗の三者の和として算出しており、岩盤も支保メンバーのひとつとするところに特徴がある。この詳細について、岡<sup>2),3)</sup>が補足して解説している。

Robcewiceらの示している岩盤アーチ領域（carrying ring）の大きさは、岩盤の内部摩擦角によって描かれるせん断すべり面に応じて設計されるロックボルト長および間隔で与えられ、岩盤内のせん断すべり破壊をその理論の基本としている。支保の総抵抗力の算定については、全支保メンバーの施工が完了した時直での抵抗力であって、吹きつりやロックボルトを実際に施工するときの、施工の遅れは加味されていない。

池田他<sup>4),5)</sup>は、トンネル坑内で実施した弹性波探査によりトンネル周壁のゆるみ領域を測定し、事前調査段階での概略の大きさが推定できることを示している。本報告では、弹性波探査によって得られたゆるみ領域の大きさは、無限媒体中の円孔をトンネルとみなした等方静水圧下の周辺岩盤の弾塑性解として計算される塑性領域の大きさとかかわりが深いことを示し、岩盤を弾塑性体として扱ったNATMの予備設計を行なうときの考え方について議論している。

## 2. ゆるみ領域と弾塑性解の塑性領域の関係

坑内弹性波探査により次の項目が実測される。

岩盤弹性波速度 P波  $v_p$ , S波  $v_s$

岩盤ボルツン数  $m$

$$m = \frac{\left(\frac{v_p}{v_s}\right)^2 - 2}{2\left\{\left(\frac{v_p}{v_s}\right)^2 - 1\right\}} \quad (1) \text{式}$$

ゆるみ領域（トンネル周壁の低速度帯の厚さ）  $L$  (m)

一方、実測地表から採取する岩石試料について以下の項目が試験される。

単位体積重量  $\gamma$  ( $\text{t/m}^3$ )

超音波速度 (P波)  $V_p$

-軸圧縮強度  $S_{cs}$  ( $\text{t/m}^2$ )

-軸引張強度  $S_{ts}$  ( $\text{t/m}^2$ )

池田<sup>6)</sup>は岩盤強度の目安として、準岩盤強度を次のように定義している。

$$\text{きわみ係数 } f = \left(\frac{V_p}{v_p}\right)^2 \quad (2) \text{式}$$

$$\text{準岩盤圧縮強度 } S_c = f \cdot S_{cs} \quad (3) \text{式}$$

$$\text{準岩盤引張強度 } S_t = f \cdot S_{ts} \quad (4) \text{式}$$

図1に示すようなモール円と破壊包絡線を前提とすると、岩盤の粘着力C、内部摩擦角φなどは次式で示される。

$$C = \frac{\sqrt{S_c \cdot S_t}}{2} = \frac{\sqrt{S_{cs} \cdot S_{ts}}}{2} \cdot f \quad (5) \text{式}$$

$$\sin \phi = \frac{S_c - S_t}{S_c + S_t} \quad (6) \text{式}$$

$$C \cot \phi = \frac{S_c - S_t}{S_c + S_t} \quad (7) \text{式}$$

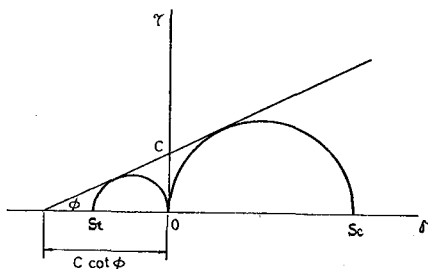


図1. 岩盤強度と破壊包絡線

無限等方媒体中の初期地压を静水压 $P_0$ ( $\text{kg}/\text{m}^2$ )、半径 $R$ (m)  
の円孔における内压を $P_i$ ( $\text{kg}/\text{m}^2$ )とすると、弾塑性解として、  
塑性領域の半径 $R_c$ (m)が次式で求められる。

$$\frac{R_c}{R} = \lambda \frac{1 - \sin \phi}{2 \sin \phi} \quad (8) \text{式}$$

ただし  $\lambda = \frac{(P_0 + C \cot \phi)(1 - \sin \phi)}{P_i + C \cot \phi} \quad (9) \text{式}$

$P_0$ 、 $P_i$ については、計算条件として、一応次の値を仮定しておく。

$$P_0 = \frac{P_v + P_h}{2} = \frac{m}{2(m-1)} \rho h \quad (10) \text{式}$$

$$P_i = 0 \quad (11) \text{式}$$

ただし $P_v$ 、 $P_h$ はそれぞれ土被り压のみによる鉛直压および水  
平压で、土被りを $m$ とすると次式で示される。

$$P_v = \rho h \quad (12) \text{式}$$

$$P_h = \frac{1}{m-1} P_v = \frac{1}{m-1} \rho h \quad (13) \text{式}$$

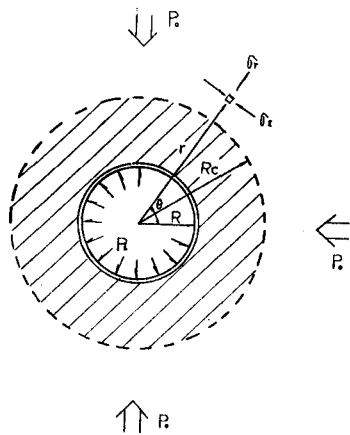


図2. 等方等圧時の円孔周辺の弾塑性状態.

以上より、(8)式に、弾性波検査、岩石試験で得られた諸数値および $P_0$ 、 $P_i$ を代入すれば、塑性領域の半径 $R_c$ が計算されることになる。しかるに、 $\lambda < 1$ のときは $R_c < R$ であり、モール円は破壊包絡線に接することなく、塑性領域は得られない。この場合にも、弾性波検査ではゆるみ領域は実測されている。すなわち、準岩盤強度についても力學的物理量としての裏付けが不十分であり、例えば内部摩擦角φが小さくなると、(8)式の指數部分αは、図3に示すように大きくなる。てしまうため、実測されたゆるみ領域Lは、 $(R_c - R)$ で計算されると考えるべきではない。

そのため、ひとつの目安として、ゆるみ領域Lと(9)式のλとの対比を行なってみた。ゆるみ領域が測定されといふものうち、岩石試験等が行なわれているものについてλを算出し、それを大断面トンネル（複線および新幹線型）と小断面トンネル（单線型および導坑）に分けて図示したのが、それぞれ図4、図5である。図中の印は地盤による地厚を示したものである。（○A 硬岩、△B 小理片理の著しい硬岩、□C 中硬岩、○D 軟岩、×E F 軟岩ないし未固結堆積物）大断面トンネル27例、小断面トンネル48例の測定数のうち、 $\lambda > 1$ の条件にあてはまる

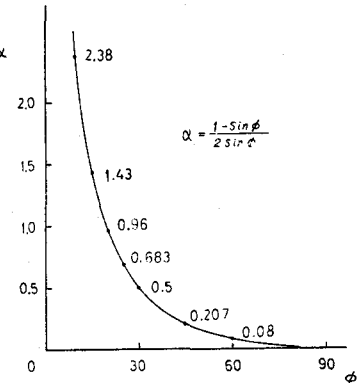


図3. 内部摩擦角φと(8)式指數部分の関係.

ものが少ないので、図中に示した直線は適當に引いたものではあるが、じと入の相関性はかなりよいものと見える。また直線の勾配は、トンネル断面の大きい図4の方が急になつてゐる。

入 > 1 の場合は、いわゆる塑性地圧が発生するものと考えることもできる。この入は、仰臥の地山強度比 ( $S_{es}/gh$ ) をさらに多くの物性値等で考慮したものであり、図4、5によれば、入 > 1 を塑性地圧発生条件とすることは妥当と思われる。

準岩盤強度は、岩盤をマスとして捉えるよい考え方であるが、先に述べたように直接(8)式を用いて塑性領域の大きさは計算されえない。そのため、難しい問題ではあるが、直接せん断試験などで得られる  $C, \phi$  と、準岩盤強度とを比較してみることが必要である。

なお、入の値からゆるみ領域の大きさが想定されることとは、事前のロックボルト長の設定などに利用できるものである。

### 3. 支保としての岩盤の抵抗力

(8)式を書き直すと塑性半径  $R_c$  は、

$$R_c = R \left\{ \frac{(P_i + C \cot \phi)(1 - \sin \phi)}{P_i + C \cot \phi} \right\}^{\frac{1 - \sin \phi}{2 \sin \phi}} \quad (14) \text{式}$$

となる。 $C, \phi$  が準岩盤強度から換算される値、またはより確かな力学的物理量として与えられるならば、 $R_c$  は弾塑性解における境界であり、岩盤は塑性化しながらも、破壊包絡線に接しながら（塑性化したときの収縮定数  $C_p, \phi_p$  を考えるこどもできる）その抵抗力を持ち続けるとしたならば、これから支保としての岩盤の抵抗力を求めることができる。

ここでは、塑性領域内の岩盤のせん断抵抗力の半径方向成分を、岩盤の支保抵抗力を考える。図6に示すように、内圧  $P_i$  が作用するとき、塑性領域の範囲は、半径方向応力で  $\phi$  から  $\phi_p$  の間であり、その中の応力は下式となる。

$$\sigma_r^p = \left\{ \left( \frac{r}{R} \right)^{\frac{2 \sin \phi}{1 - \sin \phi}} - 1 \right\} C \cot \phi - P_i \left( \frac{r}{R} \right)^{\frac{2 \sin \phi}{1 - \sin \phi}} \quad (15) \text{式}$$

$$\sigma_t^p = \left\{ \frac{1 + \sin \phi}{1 - \sin \phi} \left( \frac{r}{R} \right)^{\frac{2 \sin \phi}{1 - \sin \phi}} - 1 \right\} C \cot \phi - \frac{1 + \sin \phi}{1 - \sin \phi} P_i \left( \frac{r}{R} \right)^{\frac{2 \sin \phi}{1 - \sin \phi}} \quad (16) \text{式}$$

$$\tau_{rt} = 0 \quad (17) \text{式}$$

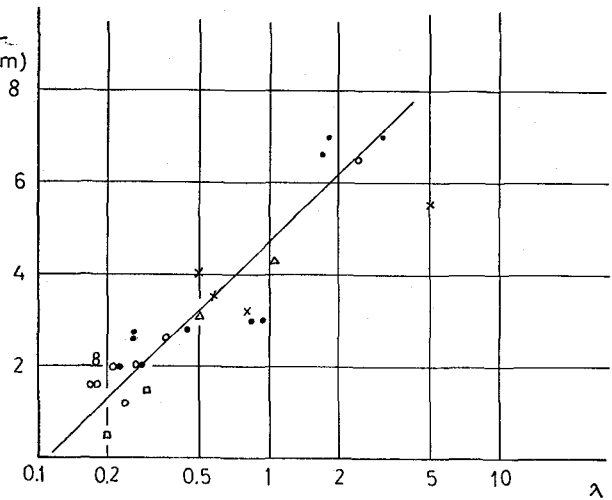


図4. 実測ゆるみ深さ  $L$  と入の関係 (大断面トンネル)

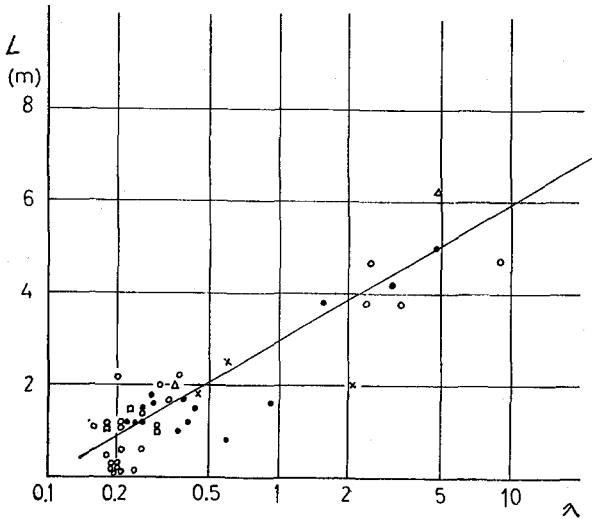


図5. 実測ゆるみ深さ  $L$  と入の関係 (小断面トンネル)

塑性領域内のせん断面でのせん断応力 $\tau_s$ は、

$$\tau_s = \frac{\sigma_r^p - \sigma_r^p}{2} \cos \phi \quad (18) \text{式}$$

で与えられ、トンネル壁面単位面積あたりの岩盤の抵抗力 $Q_R$ は下式で与えられる。

$$Q_R = \int_{R_i}^{R_c} \tau_s \sin\left(\frac{\pi}{4} - \frac{\theta}{2}\right) \frac{dr}{\sin\left(\frac{\pi}{4} - \frac{\theta}{2}\right)} \quad (19) \text{式}$$

#### 4. 支保抵抗力の算定

NATMでは、支保工として通常吹きつけコンクリートとロックボルトが施工される。これらの支保抵抗力をそれぞれ $Q_s, Q_B$ とする。総支保抵抗力 $Q$ は、これに岩盤の抵抗力を加えたものと考える。

$$Q = Q_s + Q_B + Q_R \quad (20) \text{式}$$

吹きつけコンクリート( $\varnothing D(m)$ )の抵抗力は、これに含まれるH型鋼やチッピング等を考慮した圧縮強度を $S'_c$ とすると、薄肉円筒式により、次のようになる。

$$Q_s = \frac{D}{R} \cdot S'_c \quad (21) \text{式}$$

ロックボルトの抵抗力については、問題が難しいため、とりあえず、ボルト一本あたりの設計耐力 $Q_B'$ を差しること。 $(a, b)$ の丁込開削では、

$$Q_B = Q_B' / d \cdot b \quad (22) \text{式}$$

となる。

岩盤の抵抗力は内圧 $P_i$ によらず大きく異なる。内圧については施工時を考慮し、掘削直後に吹きつけが施工される場合の内圧は、 $P_i = Q_s$ 、またこれと同時にロックボルトが切羽で施工される場合の内圧は、 $P_i = Q_s + Q_B$ 、と考え、(15), (16)式および(19)式により、岩盤の抵抗力 $Q_R$ が計算される。

岩盤の支保抵抗力は、表1に示すように、同じ岩盤強度のもとでは、内圧を作用させない場合の方が大きくなる。この場合、当然塑性領域は大きくなる。

以上、予備設計段階における支保抵抗力の考え方を示したが、地圧論にて、支保抵抗力と同じように重要な要素である変位の問題については議論していない。

[謝辞] 本報告に使用した坑内弹性波検査結果は、元鉄道技術研究所、池田和彦氏、田中敏夫氏を中心となして実施したものであることを断わり、ここに謝意を表します。

[文献] 1) L.v.Rabczewice and J. Golser; Water Power, pp.88~93, 1973. 5 2) 地行俊; オミナトンネルと地下技術講演会 pp.100~112, 昭和49年3月. 3) 地行俊; NATM方式工法講習会テキスト pp.4~31 昭和52年7月 4) 池田和彦他; 鉄道技術研究報告 No.941, 1974. 12. 5) 池田和彦、萩原善; 第5回岩の力学国際シンポジウム pp.163~168 1977年. 6) 池田和彦、鉄道技術研究報告 No.695, 1969. 9. 7) 仲野良紀; 応用地質, 15-3, pp.27~43, 1974年10月 8) V.G.Feder and M. Armanitakis; Berg- und Hüttentechnische Monatshefte, 121, Heft 4, pp.103~117, 1976.

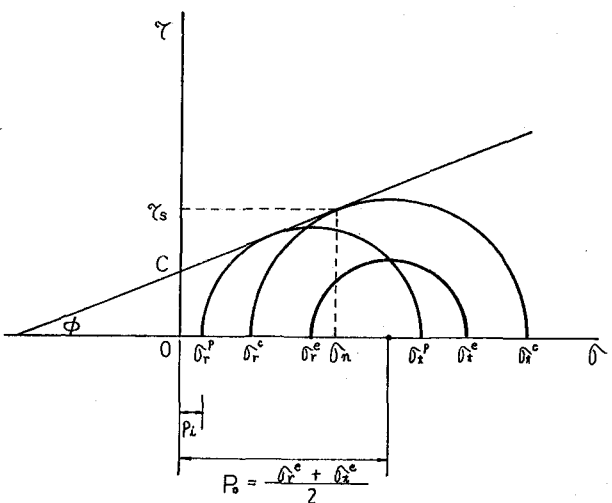


図16. 塑性領域のモールの応力円

( $\theta_r^e$  は  $P_i$  から  $\theta_t^e$  までの範囲)

表1. 内圧 $P_i$  および支保抵抗力 $Q$ の算定法

支保施工方法	$P_i$	$Q_R$	$L = R - R$	$Q$
無普請	0	大	大	$Q_R$
掘削後ただちに吹きつけコンクリート	$Q_s$			$Q_s + Q_R$
同上 止端後方でロックボルト	$Q_s$	小	小	$Q_s + Q_B + Q_R$
掘削後ただちに吹きつけとロックボルト	$Q_s + Q_B$			$Q_s + Q_B + Q_R$

Calculation of Support Resisting Forces  
for Pre-dimensioning in NATM

Takashi SAKURAI

RTRI, JNR

By means of seismic investigation in tunnel, the loosened area around opening is measured as the depth of lower velocity zone. On the other hand, elastic-plastic analysis using the rockmass strength, covering height and tunnel diameter in the investigatted site gives the radius of the plastic zone as the following equation.

$$\frac{R_c}{R} = \lambda \frac{1 - \sin \phi}{2 \sin \phi}$$
$$\lambda = \frac{(P_o + C \cot \phi)(1 - \sin \phi)}{P_i + C \cot \phi}$$

- , where       $R$  ; radius of tunnel  
 $R_c$  ; radius of plastic zone  
 $C$  ; cohesion  
 $\phi$  ; angle of internal friction  
 $P_o$  ; average covering force  
 $P_i$  ; inner force

Distinct relationship is found between  $\lambda$  ( $R=0$ ) and measured loosened depth by seismic investigation, and the loosened depth becomes larger according to tunnel diameter.

The obtained result by seismic survey, which is generally excuted prior to tunnel construction along the tunnel route in Japan, is available to estimate the loosened depth by calculating  $\lambda$ . The estimated depth is also useful to design the length of rock bolt.

It is important to estimate the resisting force of tunnel support prior to construction. The supporting members consist of shotcrete lining, rock bolt and rockmass itself in NATM. In this report, a method to calculate the resisting force of rockmass using elastic-plastic analysis including the inner force  $P_i$ , which is estimated considering the supporting procedure, is also discussed.